

Выводы

1. Для мыса Кибера установлена сложная полифазная история тектонического развития от палеозойского до кайнозойского времени, включающая несколько деформационных событий.

2. Изучены структурные парагенезы коллизионного и постколлизионного этапов мезо-кайнозойских деформаций, затушевавших следы позднедевонского элсмирского орогенеза. Установлены

синколлизионные север—северо-восточное — юг—юго-западное и северо-западное — юго-восточное сжатие, и постколлизионное растяжение в нескольких направлениях.

3. Показано парагенетическое сходство деформационных структур изученного участка Центрально-Чукотского сегмента со структурами Западно-Чукотского сегмента и Южно-Ануйской сутуры.

Работа выполнена при финансовой поддержке РФФИ — грант №16-05-00146, 13-05-00249.

ЛИТЕРАТУРА

1. Верхбицкий В.Е., Соколов С.Д., Тучкова М.И. Тектоника, этапы структурной эволюции и перспективы нефтегазоносности шельфа Чукотского моря (Российская Арктика). Геология полярных областей Земли. // Мат. XLII Тектонического совещания. Т. 1. М.: ГЕОС, 2009. С. 85–90.
2. Катков С.М., Лучинская М.В., Котов А.Б., Сальников Е.Б., Яковлева С.З. Позднепалеозойские гранитоиды Центральной Чукотки: структурное положение и обоснование возраста // Доклады РАН. 2013. Т. 450. № 2. С. 193–198.
3. Катков С.М., Миллер Э.Л., Торо Х. Структурные парагенезы и возраст деформаций западного сектора Ануйско-
- Чукотской складчатой системы (Северо-Восток Азии) // Геотектоника. 2010. № 3. С. 1–20.
4. Natal' in B.A., Amato J.M., Tого J., Wright J.E. Paleozoic rocks of northern Chukotka Peninsula, Russian Far East // Tectonics. 1999. V. 18. N 6. P. 977–1003.
5. Sokolov S.D., Bondarenko G.Ye., Morozov O.L. et al. Souyh Anyui suture, northeast Arctic Russia: Facts and problems // Tectonic evolution of the Bering Shelf-Chukchi Sea-Arctic Margin and Adjacent Landmasses / E.L. Miller, A. Grantz, S.L. Klemperer (Eds). Boulder, Colorado, GSA Special Paper 360. 2002. P. 209–224.

УДК 551.736+551.761 (571.5)

О ПОЗДНЕГАГАРЬЕОСТРОВСКОЙ БИОТЕ НА СЕВЕРЕ СИБИРСКОЙ ПЛАТФОРМЫ

Г.Н. САДОВНИКОВ

Российский государственный геологоразведочный университет
117997, Россия, г. Москва, ул. Миклухо-Маклая, д. 23; e-mail: sadovnikov.gennady@yandex.ru

До начала траппового вулканизма Средняя Сибирь была равниной, покрытой тайгой с преобладанием кордантитовых. Травянистый покров склонов состоял в основном из папоротников. Болотистые низины покрывали членистостебельные. Вулканические извержения в конце вишсильского (северодвинского) века привели к образованию возвышенности, на которой сформировался почти такой же растительный покров, но с существенным преобладанием травянистой растительности склонов. Древесная растительность преобладает лишь в двух местонахождениях, в трех составляет около 50%, в пяти — отсутствует. Ассоциации травянистого покрова склонов в большей части местонахождений составляют не менее 46%, в двух местонахождениях — около 100 %, в 42 % местонахождений — отсутствуют. Резко преобладают папоротники. Доминантами являются *Todites (?) anthriscifolia*, *Todites (?) sibirica*, *Prynadaeopteris (?) kargovii*, редко *Cladophlebis aff. taimyrensis*. Иногда кодоминируют *Prynadaeopteris (?) venusta*. Среди голосеменных доминантами иногда бывают *Yavorskyia radzenkovi*. В травянистом покрове низин преобладают членистостебельные: в двух местонахождениях составляют около 100 %, в двух — более 50 %, в четырех — от 12 до 33 %, в двух местонахождениях отсутствуют. Обычно доминируют *Paracalamites*, иногда кодоминируют *Phyllotheeca turnaensis*, *P. minuta*, *Paraschizoneura*. В бассейнах значительна роль двустворок *Palaeoanodonta*. Флора конца гагарьеостровского времени по составу мало отличается от раннегагарьеостровской, но экологические различия существенны. Лесные сообщества уступают главенствующую роль травянистым сообществам склонов, что в экологическом плане сближает эту флору со сменяющей её тутончанско-раннедвурогинской флорой.

Ключевые слова: вишсильский (северодвинский) век; гагарьеостровское время; древесная растительность; травянистая растительность склонов и низин; тутончанско-раннедвурогинская флора.

ABOUT LATE GAGARY-OSTROVIAN BIOTA (LATE PERMIAN) AT THE NORTH OF THE SIBERIAN PLATFORM

G.N. SADOVNIKOV

Russian State Geological Prospecting University
117997, Russia, Moscow, Miklouho-Maklay's street, 23; e-mail: sadovnikov.gennady@yandex.ru

Prior to the beginning of a trap volcanism of Central Siberia there was a plain, covered by Cordaitanthales. Slope herbaceous cover consisted mainly of ferns. Equisetopsida prevailed in the swampy lowlands. Volcanic eruptions at the end of Vishkilian (Severodvinian) led to the formation of a hill. It was covered by similar vegetation, but vegetation of herbaceous slopes substantially prevailed. Woody vegetation was dominated at only two locations, it was also about 50% at three locations and absent at two ones. Associations of the grassy slopes in most places were at least 46%, they were about 100% in two places and absent in 42% of the places. Ferns dominated sharply. Todites (?) anthriscifolia, Todites (?) sibirica, Prynadaeopteris (?) karpovii, rarely Cladophlebis aff. taimyrensis were dominants. Sometimes Prynadaeopteris (?) venusta were codominants. Yavorskya radczenkovi sometimes codominated among gymnosperms. The herbaceous cover of the lowlands was dominated by Equisetopsida. At two locations, they are about 100%, and more than 50% at two ones, and from 12 to 33% at four ones. They are absent only at two localities. Paracalamites were usually dominants. Sometimes hyllotheca turnensis, P. minuta, Paraschizoneura codominated. In the basins, Palaeoanodonta (Bivalve) had a significant role. Thus, the composition of the flora of the Late Gagary-Ostrovian time has a little difference from the Early Gagary-Ostrovian, but the ecological differences are significant. Forest communities are inferior to the dominant role of herbaceous slopes ones. This makes the flora of the Late Gagary-Ostrovian time be similar to the followed Tutonchanian - Early Dvurogian flora in the ecological sense.

К еу w o r d s : Vishkilian (Severodvinian) stage; Gagary-Ostrovian time; woody vegetation; herbaceous vegetation of slopes and lowlands; Tutonchanian — Early Dvurogian.

Гагареостровское время характеризуется главным образом особенностями флоры кордайтантовых: отсутствием руфлорий и широким распространением сульцивных кордайтов. Именно по этим критериям С.В. Мейен установил присутствие гагареостровского горизонта, выделенного первоначально на Сибирской платформе [4], вне её пределов: на Таймыре (Тигян-Сээнэ, сборы Г.Н. Садовникова, рис. 1, 1), на левобережье низовьев Анабара (Суолема, сборы В.Г. Азаровой, рис. 1, 2), на правобережье Лены (Юлэгиир, сборы Э.Ф. Орловой, рис. 1, 12). Однако в верхней части гагареостровских отложений более широко распространены и нередко полностью составляют тафоценозы папоротники и членистостебельные, которые почти не изучены. В вышележащих вулканогенных отложениях кордайтантовые отсутствуют, и широко распространены именно папоротники [10–16]. Важно сравнение гагареостровских и этих более молодых папоротников.

Автором приведена краткая характеристика позднегагареостровской флоры Сибирской платформы, которая изучена в 12 местонахождениях (рис. 1). Одно из них (Гагарий) открыл в 1931 г. В.С. Попов, томский геолог партии Государственного акционерного общества «Комсеверопуть», возглавляемой Л.М. Шороховым. В 1965–1988 гг. геологи «Аэрогеологии» Н.П. Анучкина, А.А. Боручинкина, А.И. Емельянова, Е.К. Обоницкая, Г.Н. Садовников, В.М. Чалисов, Л.И. Шахотько при производстве государственной геологической съёмки масштаба 1:2000 000 сделали дополнительные сборы из этого местонахождения и открыли новые местонахождения [14]. В табл. 1 приведён перечень (в

алфавитном порядке) и привязка местонахождений, номера на рис. 1 (в скобках после названия), фамилии авторов и даты открытия. Кроме того, возможно, позднегагареостровскими являются

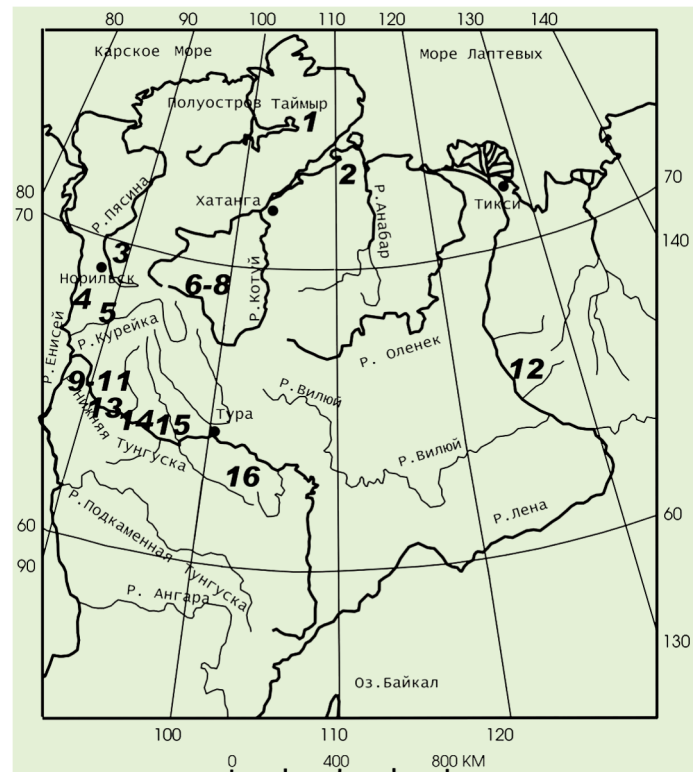


Рис. 1. Схема расположения местонахождений остатков растений:
1 — Тигян-Сээнэ; 2 — Суолема; 3 — Норильск; 4 — Турумакита; 5 — Авам-3; 6 — Арылах-1; 7 — Маймеч-1; 8 — Себяки -1; 9 — Кочумдек-6; 10 — Кочумдек-1; 11 — Кочумдек-5; 12 — Юлэгиир; 13 — Верхняя Чалбышева; 14 — Корбунчана-1; 15 — Гагарий; 16 — Мункамба-2

Перечень местонахождений позднегагареостровской флоры

| Местонахождение и номер на рис. 1 | Привязка | Автор открытия | Год открытия |
|-----------------------------------|--|--|--------------|
| Авам-3 (5) | Руч. Дезертир (правый приток р. Авам в 3,6 км от устья) близ устья большого левого лога (лога Лебедева) | Н.К. Могучева [5] (сборы Г.Н. Садовникова, 1977) | |
| Арылах-1 (6) | Меридиональный ручей, впадающий в р. Маймеч в её истоках близ озера с отметкой уреза 676, в 0,7 км к юго-западу от неё | Н.П. Анучкина | 1968 |
| Верхняя Чалбышева (13) | Р. Верхняя Чалбышева (правый приток р. Нижняя Тунгуска) в 2 км ниже устья руч. Ягельный | А.И. Емельянова | 1972 |
| Гагарий (15) | Левый берег р. Нижняя Тунгуска напротив острова (осередка) Гагарий, в 22 км ниже устья р. Таймура | В.С. Попов | 1931 |
| Корбунчана-1 (14) | Правый берег р. Корбунчана (левый приток р. Нижняя Тунгуска выше пос. Тутончаны) в 3 км от устья | Л.М. Шорохов | 1936 |
| Кочумдек-1 (10) | Правый берег р. Кочумдек (правый приток р. Нижняя Тунгуска ниже пос. Тутончаны) в 60 км от устья (в 12 км выше р. Хаимкен) | А.А. Боручинкина | 1965 |
| Кочумдек-5 (11) | Левый берег (в 1 км от устья) левого притока р. Кочумдек в 60 км от устья (в 15 км выше р. Хаимкен) | А.А. Боручинкина, Н.С. Снигиревская | 1969 |
| Кочумдек-6 (9) | Р. Кочумдек, левый берег в 20 км выше устья р. Хаимкен | А.А. Боручинкина | 1969 |
| Маймеч-1 (7) | В 4 км к юго-западу от юго-восточной оконечности озера Туррука (озеровидное расширение р. Маймеч в её верховьях), в 136 км к северо-западу от пос. Ессей | В.С. Авдалович (сборы В.М. Чалисова, 1968) | 1967 |
| Мункамба-2 (16) | Правый берег р. Мункамба (левый приток р. Ейка, бассейн р. Нижняя Тунгуска) в 11 км от устья | Г.Н. Садовников | 1969 |
| Себяки -1 (8) | Правый берег небольшого врезанного ручейка на левобережье р. Арбакун в 1,2 км к юго-востоку от русловой отметки 652 (близ восточной оконечности оз. Себяки) | Н. П. Анучкина | 1968 |
| Турумакита (4) | В 2,5 км (по прямой) от устья по левому безымянному притоку верховьев р. Турумакита, впадающей справа в р. Хантайка; в 14 км к юго-востоку (по азимуту 130°) от устья р. Волчья, притока р. Фокина | Л.И. Шахотько | 1977 |

некоторые местонахождения в районе Норильска [1] (рис. 1, 3).

Коллекция хранится в Научно-вспомогательном фонде Государственного Дарвиновского музея г. Москвы под номерами: НВФ№№ 16739—15753, 16792—16803, 15857—16861, 16863—16868, 16886—16895, 16976—16991, 17128—17135, 17138—17147, 17249—17252, 17322—17326, 17362—17365, 17413—17416. Музейные номера образцов указаны в подписях к рисункам.

На рубеже палеозойской и мезозойской эр (начиная с середины гагареостровского времени) на севере Средней Сибири от р. Хантайка и г. Норильска на западе до р. Маймеч на востоке длительное время происходили сильнейшие вулканические извержения. На поверхности земли накапливались базальты и туфы базальтов общей мощностью несколько километров. Подобные трапповые плато известны и в других районах мира. Часто трапповые плато формировались на стыке геологических периодов: триасового и юрского (Южная Африка), юрского и мелового (Бразилия), мелового и палеогенового (Индия), палеогенового и неогенового (Исландия). Поэтому многие исследователи считают, что трапповый вулканализм играл роль «спускового крючка» эволюционного процесса. Самая значительная в истории Земли перестройка орга-

нического мира произошла между палеозоем и мезозоем. Именно эту перестройку очень часто связывают с формированием вулканических плато Средней Сибири.

До начала вулканических извержений Средняя Сибирь была равниной, покрытой тайгой, в которой преобладали кордантантовые. Травянистый покров склонов состоял в основном из папоротников. Болотистые низины покрывали членистостебельные. Реки и озёра населяли рыбы и двустворчатые моллюски. В середине гагареостровского времени окраины континента и низины внутри него располагались почти на уровне моря. Их ландшафт напоминал низменные болотистые морские побережья Балтики. Бассейны заселяли двустворки *Abiella* (сейчас *Prilukiella*), *Anthraconauta*, *Microdontella* [3], остракоды *Darwinula*, *Suchonella*, *Tomiella* (или *Tomiellina*) [9], конхостраки. Отсюда определяется несколько видов различных родов *Bairdestheriida* [6]. Э.Ф. Орлова на основе анализа массового материала из нескольких местонахождений показала, что большая часть этих таксонов постоянно встречается в составе единых монотопных последовательностей и принадлежит одному виду — *Bipermphigus gennisi* (Novojilov) [7, 8].

Вулканические извержения привели к образованию почти 200-метровой толщи вулканических

туфов. На появившейся возвышенности сформировался почти такой же растительный покров, как и раньше (табл. 2). Но существенно преобладала травянистая растительность склонов (табл. 3; рис. 2, левая колонка). Древесная растительность имела

тот же состав, но лишь в двух местонахождениях она преобладала (67–100 %), в трех составляла около 50 %, в пяти — отсутствовала. Это были исключительно кордайтантовые: листва *Cordaites angustifolius* (Neuburg) S.Meyen (иногда доминиро-

Таблица 2

Характеристика местонахождений позднегагареостровской флоры

| Название местонахождения | Авам-3 | Арылах-1 | Верхняя Чаплыгина | Гагарий | Кочумек-1 | Кочумек-5 | Кочумек-6 | Маймеч-1 | Мункамбат-2 | Себяки -1 | Турумакита |
|--|--------|----------|-------------------|---------|-----------|-----------|-----------|----------|-------------|-----------|------------|
| Номер местонахождения | 5 | 6 | 13 | 15 | 10 | 11 | 9 | 7 | 16 | 8 | 4 |
| Древесный ярус | | | | | | | | | | | |
| <i>Cordaites angustifolius</i> | | | | | 5 | 2 | | | | 8 | |
| <i>Cordaites clerckii</i> | | | | 1 | | | 2 | | | | |
| <i>Cordaites insignis</i> | | | | 12 | 2 | 6 | 5 | | | | |
| <i>Cordaites</i> sp. | | | | | | | + | | | | |
| <i>Nephropsis schmalhausenii</i> | | | | | | 1 | | | | | |
| <i>Cordaicladus</i> sp. | | 2 | | | | 4 | | | | | |
| Травянистый покров склонов | | | | | | | | | | | |
| <i>Acrostichides linnaeaefolius</i> | 1 | | | | | | | | | | |
| <i>Todites</i> (?) <i>anthriscifolia</i> | | 8 | | 8 | | | | | 15 | | |
| <i>Todites</i> (?) <i>sibirica</i> | | | | | | | | | 6 | 6 | 9 |
| <i>Todites</i> (?) sp. | 1 | | | | | | | | | | |
| <i>Prypnadæopteris</i> (?) <i>venusta</i> | | | | | | | | | | 6 | |
| <i>Prypnadæopteris</i> (?) <i>karpovii</i> | 16 | 28 | | | | | | | 1 | | |
| <i>Prypnadæopteris</i> (?) <i>julii</i> | | | | | | | | | | 2 | |
| <i>Pecopteris</i> sp. | | | | 4 | | 1 | | | 13 | 4 | |
| <i>Cladophlebis taimyrensis</i> | | | | | | | | | 16 | | |
| <i>Cladophlebis</i> sp. | | | | 1 | | | | | | | |
| <i>Lobatopteris</i> (?) sp. | | | | | | | | 2 | | | |
| <i>Pecopteris</i> sp. | 1 | | | | | | | | | | |
| <i>Rhizomopteris</i> sp. | | | | | | | | | | 2 | |
| <i>Yavorskyia mungatica</i> | | | | | | | | 2 | | | |
| <i>Yavorskyia</i> sp. | | | | | | 8 | | | | | |
| ? <i>Carpolithes</i> sp. | 1 | | | | | | | 1 | | | |
| <i>Permotheca</i> sp. | | 1 | | | | | | | | | |
| <i>Glottophyllum cuneatum</i> | | | | | | | | | | 2 | |
| Травянистый покров низин | | | | | | | | | | | |
| <i>Stigmaria</i> (?) sp. | | | | | | 1 | | | | | |
| <i>Lycoderma</i> sp. | | 2 | | | | | | | | | |
| <i>Lycopodiopsida</i> (?) <i>incerta sedis</i> | 1 | | | | | | | | | | |
| <i>Phyllotheca minuta</i> | | | | | | | 6 | | | | |
| <i>Phyllotheca multicostata</i> | 1 | | | | | | | | | 3 | |
| <i>Phyllotheca turnaensis</i> | | | 6 | | | | | | | 2 | |
| <i>Phyllotheca</i> sp. | 3 | | | 2 | | | | | 2 | 2 | |
| <i>Neokoretrophyllites linearis</i> | | | | | | | | | | 1 | |
| <i>Paraschizoneura</i> sp. | | | | | | | 8 | | | | |
| <i>Paracalamites</i> sp. | | 3 | 5 | | 1 | 4 | | | | 19 | |
| <i>Martjanowskia</i> sp. | | | 2 | | | | | | | | |
| <i>Palaeostachya</i> sp. | | 1 | | | | | | | | | |
| Число экземпляров | 22 | 48 | 13 | 28 | 3 | 25 | 28 | + | 58 | 49 | 17 |

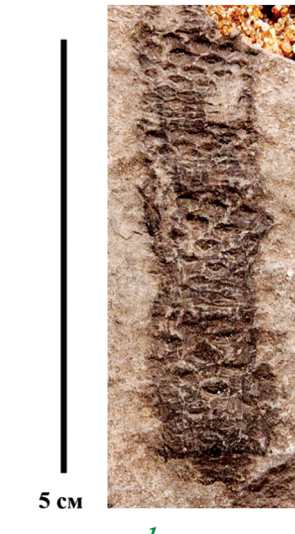
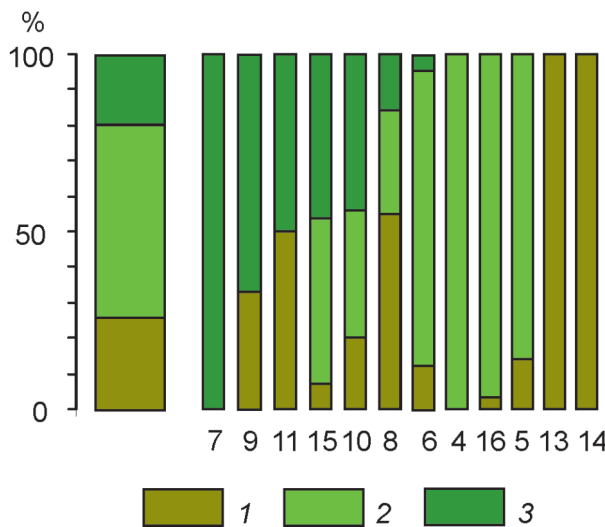
Примечание. знак + — растение присутствует, число не подсчитывалось.

Таблица 3

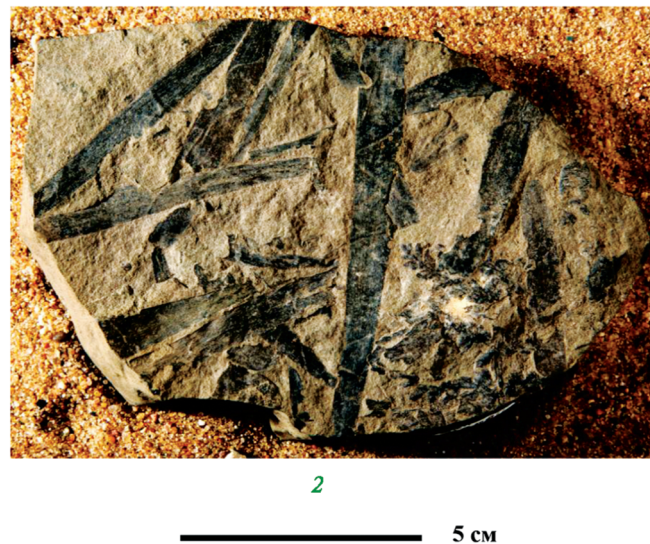
Палеоэкологические характеристики местонахождений позднегагарьеостровской флоры

| Номер местонахождения | 5 | 6 | 13 | 14 | 15 | 9 | 10 | 11 | 7 | 16 | 8 | 4 |
|-----------------------|----------|----|----|----|-----|----|----|----|----|----|----|-----|
| Древесный ярус, % | 0 | 4 | 0 | 0 | 46 | 67 | 44 | 50 | + | 0 | 16 | 0 |
| Травянистый покров | 86 | 79 | 0 | 0 | 46 | 0 | 36 | 0 | 0 | 97 | 29 | 100 |
| | низин, % | 14 | 12 | + | 100 | 7 | 33 | 20 | 50 | 0 | 3 | 55 |
| Число экземпляров | 22 | 48 | + | 8 | 28 | 3 | 25 | 28 | + | 58 | 49 | 17 |

Примечание. знак + — растение присутствует, число не подсчитывалось.



1



2

Рис. 2. Палеоэкологическая характеристика гагарьеостровской растительности: 1 — ассоциации травянистого покрова низин; 2 — ассоциации травянистого покрова склонов; 3 — ассоциации древесного яруса; в широкой колонке слева дана суммарная характеристика, в узких колонках — характеристики местонахождений; колонки расположены по убыванию роли ассоциаций древесного яруса, а в безлесных сообществах — по возрастанию роли ассоциаций травянистого покрова низин; цифры под колонками — номера местонахождений

вали), *C. candalepensis* Zalessky, *C. clerii* Zalessky, *C. insignis* (Radczenko) S.Meyen (иногда доминировали), чешуи *Nephropsis schmalhausenii* Radczenko, кора *Cordaicladus* sp.

Ассоциации травянистого покрова склонов в большей части местонахождений составляли не менее 46 %, а в двух местонахождениях — около 100 %. Но в 42 % местонахождений подобные ассоциации отсутствовали. Здесь резко преобладали папоротники. Доминантами являлись *Todites* (?) *anthriscifolia* (Goerppert) Sadovnikov, *Todites* (?) *sibirica* (Schmalhausen) Radczenko, *Prynadaeopteris* (?) *karpovii* Radczenko, редко *Cladophlebis* aff. *taimyrensis* Schvedov (рис. 4). Иногда кодоминировали *Prynadaeopteris* (?) *venusta* (Radczenko) Radczenko, присутствовали *Acrostichides linnaeaefolius* (Binbury) Fontaine, *Prynadaeopteris* (?) *julii* (Radczenko) Radczenko, *Lobatopteris* (?) sp. Гораздо более редкими были голосеменные, среди которых доминировали *Yavorskyia radczenkovii* Schvedov. Редко встречаются *Yavorskyia mungatica* Radczenko, *Glottophyllum cuneatum* (Schmalhausen) Zalessky (рис. 5).

Рис. 3. Остатки кордайтантовых: 1 — фрагмент стебля с рубцами от опавших листьев *Cordaicladus* sp., Кочумдек-6, образец НВФ №16746; 2 — листья *Cordaitea insignis* (Radczenko) S.Meyen, Гагарий, образец ГДМ НВФ №16991/2; фото П.А. Богомазова

В травянистом покрове низин преобладали членникостебельные. В местонахождении Верхн. Чалбышева они составляли около 100 %, в двух местонахождениях — более 50 %, в четырёх — от 12 до 33 %, в двух местонахождениях они отсутствовали. Обычно доминировали *Paracalamites* Zalessky, иногда кодоминировали *Phyllotheeca turnaensis* Gorelova, *P. minuta* (Radczenko) Radczenko, *Para-*

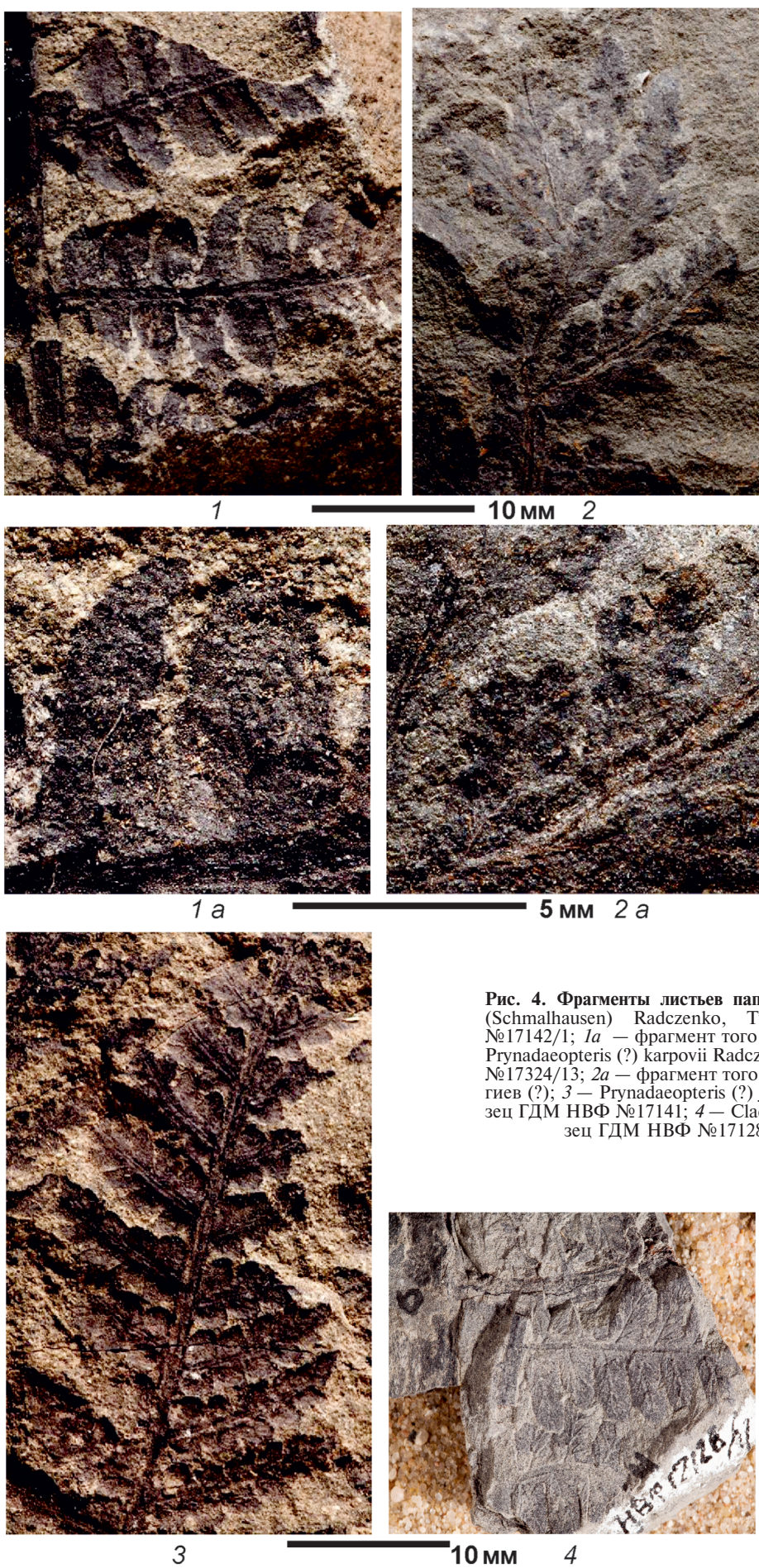
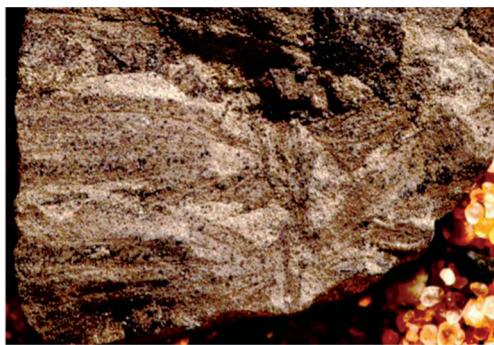


Рис. 4. Фрагменты листьев папоротников: 1 — *Todites (?) sibirica* (Schmalhausen) Radczenko, Турумакита, образец ГДМ НВФ №17142/1; 1а — фрагмент того же фото, видны спорангии (?); 2 — *Prynnadæopteris (?) karpovii* Radczenko, Арылах-1, образец ГДМ НВФ №17324/13; 2а — фрагмент того же фото, видны скопления спорангии (?); 3 — *Prynnadæopteris (?) julii* (Radczenko), Турумакита, образец ГДМ НВФ №17141; 4 — *Cladophlebis taimyrensis* Schvedov, образец ГДМ НВФ №17128/11; фото П.А. Богомазова



1



2

2 см



3

Рис. 5. Фрагменты листьев гинкгоопсид (?)¹: 1 — *Yavorskyia mungatica* Radczenko, Мункамба-2, образец ГДМ НВФ №16980/2; 2 — *Yavorskyia mungatica* Radczenko, Мункамба-2, образец ГДМ НВФ №16980/1; 3 — *Yavorskyia radczenkovi* Schvedov, Кочумдек-5, образец ГДМ НВФ №16802/4; *фото П.А. Богомазова*



5 см

Рис. 6. Нижняя часть побега членистостебельного: *Phyllotheca turnensis* Gorelova, Верхняя Чалбышева, образцы ГДМ НВФ №17249/1 — 17249/4; *фото П.А. Богомазова*

schizoneura Radczenko. Редки были *Phyllotheca multicostata* (Radczenko) S.Meyen, *Neokoretrophylites linearis* (Prynada) Radczenko, *Palaeostachya* (?) sp (рис. 6). Возможно, околоводными являлись редкие *Maria* sp. (ранее идентифицировавшиеся, как *Yuccites* [9]). Иногда присутствовали плаунообразные.

Первая в регионе находка дицинодонта [2, 15], ранее считавшаяся более молодой [2, 9], принадлежит околоводным ассоциациям позднегагарьеостровского времени. В бассейнах значительную роль играли двустворки *Palaeoanodonta* Amalitzky. В местонахождениях Кочумдек-1 и Маймеч-1 двустворки найдены совместно с кордантитовыми.

Таким образом, флора конца гагарьеостровского времени по составу мало отличалась от раннегагарьеостровской. Но экологические отличия были существенными. Лесные сообщества уступили главенствующую роль травянистым сообществам склонов, что в экологическом плане сближает эту флору со сменившей её тутончанско-раннедвурогинской флорой.

ЛИТЕРАТУРА

1. Атлас позднепалеозойской флоры Норильского района / Под ред. Г.П. Радченко. Л: НИИГА, 1969. 110 с.
2. Вьюшков Б.П., Емельянова А.И. Первая находка ископаемых рептилий в Тунгусском бассейне // Изв. АН СССР. Сер. геол. 1959. № 1. С. 111–113.
3. Маловецкая И.М., Новожилов Н.И. Садовников Г.Н. Этапы развития флоры и пресноводной фауны Тунгусского бассейна в поздней перми и раннем триасе // Тр. XVIII и XIV сессий Всесоюзн. палеонтол. о-ва. Л., 1976. С. 296–300.
4. Мейен С.В. Кордайтовые верхнего палеозоя Северной Евразии // Тр. Геологич. ин-та АН СССР. Вып. 150. М.: Наука, 1966. 184 с.
5. Могучева Н.К. Раннетриасовая флора Тунгусского бассейна // Тр. Сибирского НИИ геологии, геофизики и минерального сырья. М.: Недра, 1973. 160 с.
6. Новожилов Н.И. Новые двустворчатые листоногие кориунчанской серии Нижней Тунгуски // В.А. Молин, Н.И. Новожилов. Двустворчатые листоногие перми и триаса севера СССР. М.-Л.: Наука, 1965. С. 45–56.
7. Орлова Э.Ф. Новые данные о конхостраках *Rohdendorfium* и *Bipermphigus* из вулканогенных пермитриасовых отложений Тунгусской синеклизы // Палеонтол. журн. 1990. № 1. С. 66–75.
8. Орлова Э.Ф. Комплексы конхострак перми и триаса севера Средней Сибири // Стратиграфия. Геологическая корреляция. 1999. Т. 7. № 5. С. 56–63.
9. Садовников Г.Н. О границе угленосных и туфогенных отложений тунгусского комплекса в нижнем течении р. Нижней Тунгуски // Изв. вузов. Геология и разведка. 1960. № 8. С. 16–20.
10. Садовников Г.Н. Переход от перми к триасу в сибирской области траппового вулканизма // Палеоботанический временник. Приложение к журналу «Lethaea rossica». Вып. 2. М.: ГЕОС, 2015. С. 241–246.
11. Садовников Г.Н. Трапповый вулканизм Сибири и «пермо-триасовое вымирание» // Изв. вузов. Геология и разведка. 2016. № 2. С. 8–14. (Georef Record ID 0698029001).
12. Садовников Г.Н. Эволюция биома траппового плато Средней Сибири // Палеонтол. журнал. 2016. № 5. С. 87–99. DOI: 10.7868/S0031031X16050123. (Georef Record ID 0784756012).
13. Садовников Г.Н., Орлова Э.Ф. Новая стратиграфическая шкала вулканогенного пермитриаса Сибири и стратиграфическое положение находок позвоночных // Палеонтология и стратиграфия континентальных отложений перми и триаса Северной Евразии. М.: Палеонтол. ин-т РАН, 1995. С. 31–32.
14. Садовников Г.Н., Орлова Э.Ф., Маловецкая И.М. Отчёт по теме: «Исследование специальных вопросов биостратиграфии пограничных отложений перми и триаса Тунгусского бассейна и сопредельных районов с целью разработки корреляционных схем для геологических съёмок масштаба 1:50 000». Т. 1. Текст. 125 с. Т. 2. Графические приложения. 42 л. Т. 3. Текстовые приложения. 280 с. М.: НПО «Аэрогеология», 1980.